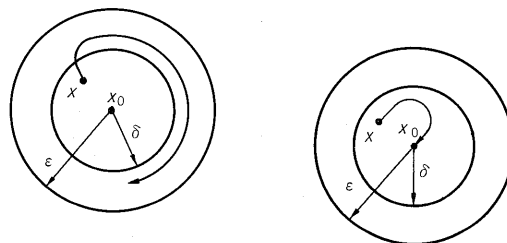




$-\frac{1}{T}$  と対応すると、概念的に理解できる。近代制御理論では  $A$  は行列である。

5. 安定

近代制御理論では、理論的に次の二つの安定性を区別する。第3図(a)のように  $x$  から出発し、領域  $\epsilon$  を越えない場合をリアプノフの意味での安定と呼ぶ。一方、第3図(b)のように  $x$  から出発し、 $x_0$  に収束する場合を漸近安定と呼ぶ。それぞれ  $A$  の固有値の実数部  $\leq 0$ 、あるいは  $< 0$  で判定する。これは古典制御理論での特性根が  $s$  平面の左半面にあれば安定であることに対応する。



(a) Lyapunov の意味の安定 (b) 漸近安定

第3図 安定の種類  
Fig. 3. Types of stability

## 6. ラプラス変換

近代制御理論でも古典制御理論と同様に、 $t$  領域を  $s$  領域で考察する。その関係はラプラス変換で律せられる。

この式は古典制御理論における  $\mathcal{L}[e^{-at}] = [s + \alpha]^{-1}$  と対応して解釈できる。

## 7. 可制御性, 可觀測性, 可安定性, 可檢出性

これらは Controllability, Observability, Stability, Detectability といわれるもので、古典制御理論になかった概念である。近代制御理論においては、後述の最適制御、最適オプザーバなどの理論の前提条件として重要である。

可制御性は、 $u$ により初期状態  $x_0$  から任意状態  $x(t_1) = x_1$  に有限時間  $t_1 - t_0$  で到達できることをいい、これにはシステム行列  $A$  と入力行列  $B$  が関係する。 $n$  次系の場合は、行列  $[B, AB, A^2B, \dots, A^{n-1}B]$  のランクが  $n$  あることで判定できる（行数  $n$  より列の方が多い矩形行列から、任意の列を除いて得られる  $n \times n$  正方行列式の値が少なくとも一つ 0 でないものがある）。

可観測性は、過去の観測時系列  $y$  から現在の状態  $x$  が決定できることをいい、これにはシステム行列  $A$  と観測行列  $C$  が関係し、行列  $[C^T, A^T C^T, A^{2T} C^T \dots A^{n-1} C^T]^T$  のランク  $n$  で判定できる。

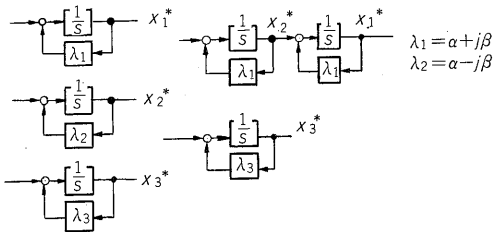
可安定性は、不安定領域が可制御領域に含まれる場合で、システムに不安定の部分があるとき、他のシステムとの結合により安定化できることを示す。

可検出性は、不可観測領域が安定領域に含まれる場合で、システムに不可観測の部分があっても、他のシステムとの結合により可観測にすることができることを示す。

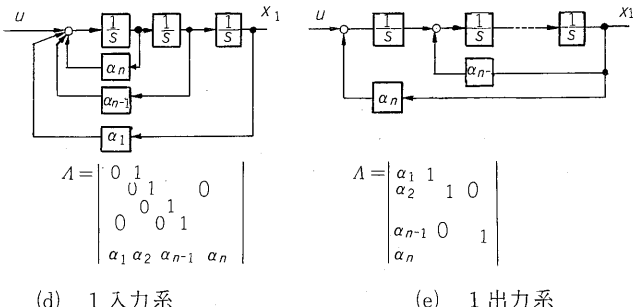
### 8. $A$ の対角化、位相変数正準形

システム行列  $A$  を、第4図のようにシステム行列  $A$  に変形すると、 $n \times n$  要素を、 $n$  要素に減らすことができ、また物理的解釈を容易にする。第4図(a)は固有値が独立な場合で、完全対角化され、状態変数  $x$  はモード変数  $x^*$  に変換され、それぞれ独立に検討できる。第4図(b)は固有値に重複がある場合で、この場合は一部のモードが連結される。第4図(c)は固有値が複素数になる場合で、これは振動モードが存在し、 $\sin$ ,  $\cos$  の両要素に分解される。第4図(d)(e)は位相変数正準形と呼ばれ、それぞれ1入力、1出力の場合にこのような変形によって、 $n \times n$  要素が  $n$  要素で決定できるので、後述の同定などに有利である。

$$A = \begin{vmatrix} \lambda_1 & 0 \\ \lambda_2 & \lambda_3 \\ 0 & \lambda_3 \end{vmatrix}, \quad A = \begin{vmatrix} \lambda_1 & 1 & 0 \\ 0 & \lambda_1 & \lambda_3 \\ 0 & \lambda_3 & \lambda_3 \end{vmatrix}, \quad \Lambda r = \begin{vmatrix} \alpha & \beta \\ -\beta & \alpha \end{vmatrix}$$



(a) (b) (c)



第4図  $A$  の標準形  
Fig. 4. Canonical form for  $A$

## 9. 定常性

現実のノイズなどは確率的変動となり、システム挙動の統計的な考察が必要となる。統計的信号は、理論的にも特別に扱う必要があり、信号が統計的でない場合は“決定的”(Deterministic) という言葉で区別している。

統計的信号の性質の一つは定常性である。狭義の定義は、異なる時期のデータの確率分布が同一であることで、広義の定義では、平均値一定、二次モーメント  $E\{v(t)v^T(t)\}$  が有限で、かつ自己相関  $R_v(t_1, t_2)$  が  $t_1 - t_2$  だ

けによることである。

### III. 最適制御

#### 1. 最適制御指標

古典制御理論では25%ダンピング、臨界制動、位相余有、ゲイン余有などが制御設計の目安となっていた。近代制御理論における最適制御指標は理論取扱上、次のような二次形式積分の形をとる。

$$J = E \left\{ \int_{t_0}^{t_1} [z^T(t) R_3 z(t) + u^T(t) R_2 u(t)] dt + x^T(t_1) P_1 x(t_1) \right\} \quad (8)$$

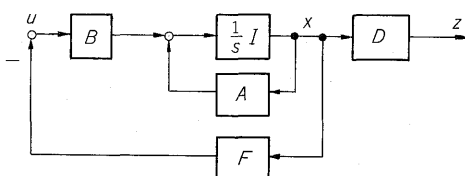
$E$ は期待値、すなわち統計的平均値を意味する。右辺積分中の第1項、第2項は内積の形 ( $R_3 z(t), z(t)$ ,  $(R_2 u(t), u(t))$ ) の形で表現する場合もある。これらの項は、

$$z^T(t) R_3 z(t) = (z_1 z_2 \dots) \begin{pmatrix} r_1 & 0 \\ 0 & r_2 \\ \vdots & \vdots \end{pmatrix} \begin{pmatrix} z_1 \\ z_2 \\ \vdots \end{pmatrix} = r_1 z_1^2 + r_2 z_2^2 + \dots \quad (9)$$

でわかるとおり、重み  $R_3$  つきの2乗和を示す。右辺第3項は、終端状態  $x(t_1)$  をできるだけ零状態に近づけることが重要な場合に考慮する。

#### 2. 状態変数フィードバック形最適制御

これは最適レギュレータともいわれ、第5図のように状態変数  $F$  を通してフィードバックして操作入力  $u$  とする方式で、最適制御として  $\min J$  にする  $u$ ,  $F$  を決定する。



第5図 状態変数フィードバック最適制御  
Fig. 5. State variable feedback optimal control

#### 3. 決定的最適制御

この最適制御は、初期状態  $x(t_0)$  が与えられて、 $t_1$  時刻までの制御指標  $J$  について、 $\min J$  にする  $u$  を決める。この解は既に求められており、最適解に<sup>\*</sup>印をつけると、  
 $u^*(t) = -F^*(t)x^*(t) \quad (10)$   
 $F^*(t) = R_2^{-1}B^TP(t) \quad (11)$   
 $-\dot{P}(t) = R_1 - P(t)BR_2^{-1}B^TP(t) + P(t)A + A^TP(t) \quad (12)$

となる。

ここに  $R_1 = D^T R_3 D$

最適解に対して、

$$\min J = x^T(t_0) P(t_0) x(t_0) \quad (13)$$

最端点条件は、

$$P(t_1) = P_1 \quad (14)$$

この解は変分法、最大原理、動的計画法などで求められるがここでは割愛する。

式(12)はリカチ方程式と呼ばれている。

最適解の意味を考察する。 $R_2$  は  $u$  の重みであり、操作入力  $u$  をあまり大きくできない場合は  $R_2$  を大きくするので、 $F$  は小さくなる。 $P(t)$  は式(13)からわかるように、制御誤差を表す。制御誤差が大きければ  $F$  は大きくなる。リカチ方程式の意味は明確に説明できないが、右辺第1項については、制御変数  $z$  の変動を大きく抑制したい場合は  $R_1$  を大きくするので、それについて左辺の制御誤差の時間減少率  $-\dot{P}(t)$  は大きくなる。右辺第2項は  $P(t)$  の二次項で、これはフィードバック制御することにより発生した項である。第3項、第4項は  $P(t)$  の一次項で、制御なしの場合の自由応答項である。

制御区間  $t_1 - t_0$  が与えられた場合、最適経路の計算方法は、まず第1過程で  $P(t)$ 、同時に  $F^*(t)$  を時間的に逆に求め、第2過程でこれらを用いて  $u^*(t)$  から最適経路  $x^*(t)$  を時間的に前向きに求める。この間の  $\min J$  は、 $P(t_0)$  が求まれば直ちに式(13)から求められる。

#### 4. 無限時間最適レギュレータ

有限時間  $t_1 - t_0$  ではなく無限時間、すなわち  $t_1 \rightarrow \infty$  での最適制御を考える場合は、

$$0 = R_1 - \bar{P} B R_2^{-1} B^T \bar{P} + \bar{P} A + A^T \bar{P} \quad (15)$$

$$\bar{F} = \bar{R}_2 B^T \bar{P} \quad (16)$$

$$u = -\bar{F} x \quad (17)$$

で  $\bar{P}$ ,  $\bar{F}$  があらかじめ計算でき、固定値でフィードバック制御することができる。

#### 5. 統計的最適制御

これは3節の決定的最適制御に対するものである。システムノイズが統計的に変動する場合に、制御量  $z(t)$  も統計的に変動する。この統計的変動に対して、 $\min J$  になる  $u$  を決定する最適制御である。

この最適解は、形式的に決定的の場合の式(10)～(12)と全く同一になる。ただし式(13)は次のようになる。

$$\min J = \text{tr} [P(t_0) Q_0 + \int_{t_0}^{t_1} P(t) V_p(t) dt] \quad (18)$$

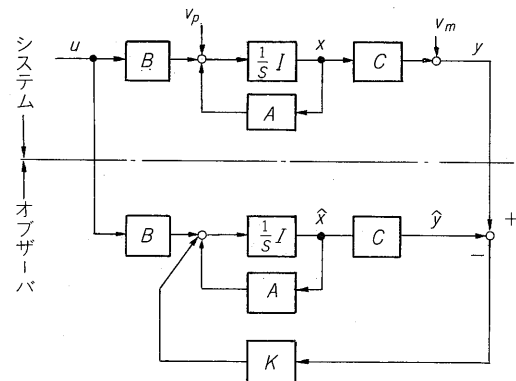
ここに  $Q_0 = E \{x(t_0) x^T(t_0)\}$ ,  $V_p = v_p(t) v_p^T(t)$

右辺第1項は決定的の場合と同一部分で、第2項がシステムノイズによる誤差増加分である。これは、最適制御した場合でも、システムノイズは制御誤差に加算されることを示し、ノイズは根本的に小さいほどよいことを示している。

### IV. オブザーバ

#### 1. オブザーバ基本形

システムから実際に観測できるものは、状態変数  $x$  で



第 6 図 オブザーバ  
Fig. 6. Observer

なく観測変数  $y$  である。状態変数  $x$  は観測変数  $y$  から推定する。この  $x$  の推定器をオブザーバと呼ぶ。オブザーバ基本形を第 6 図に示す。オブザーバ側はシステムと同一形で構成し、入力  $u$  を与えて、対応する推定  $\hat{x}$ ,  $\hat{y}$  を求める。システム側にはシステムノイズ、観測ノイズがあるが、オブザーバ側にはノイズがないので  $y$  と  $\hat{y}$  に誤差を生じ、この差 ( $y - \hat{y}$ ) にオブザーバゲイン  $K$  を乗じて補正する。

## 2. 極指定オブザーバ

これは Ruenberger<sup>(2)</sup> が提案した方法で、オブザーバ誤差  $e = x - \hat{x}$  は行列  $[A - KC]$  で律せられるので、 $e \rightarrow 0$  になるように  $[A - KC]$  の固有値を指定して、それに合わせた  $K$  を決定する。

## 3. 最適オブザーバ

これは最適指標を、

$$J = E \{ e^T(t) W e(t) \}, \quad e(t) = x(t) - \hat{x}(t) \quad \dots \dots \dots (19)$$

とし、 $\min J$  にする  $K^*$  を決定する方式で、Kalman Bucy Filter と呼ばれている。最適解は、次のようになる。

$$K^*(t) = Q(t) C^T V_m^{-1} \quad \dots \dots \dots (20)$$

$$\dot{Q}(t) = V_p - Q(t) C^T V_m^{-1} C Q(t) + A Q(t) + Q(t) A^T \quad \dots \dots \dots (21)$$

$$\min J = \text{tr} [Q(t) W] \quad \dots \dots \dots (22)$$

ここに  $V_m(t) = v_m(t) v_m^T(t)$ ,  $V_p(t) = v_p(t) v_p^T(t)$

$Q(t) = E \{ e(t) e^T(t) \}$  は推定誤差分散行列で、式(22)

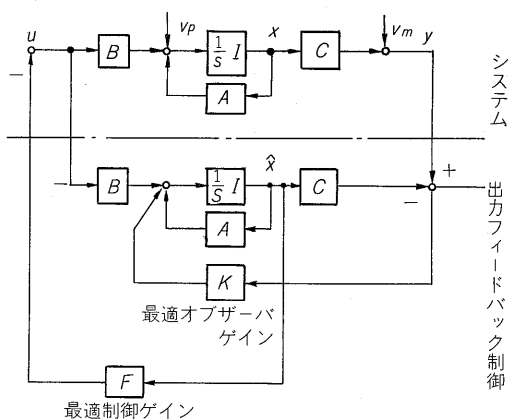
でわかるように推定誤差の目安となる。

推定計算方法は、時間的に前向きに進めて  $x$  の推定値  $\hat{x}$  を求める。

## 4. 出力フィードバック最適制御

前述の状態変数フィードバック最適制御は、実際には状態変数  $x$  が直接観測されないので、第 7 図のよう、オブザーバを用いて  $\hat{x}$  を推定し、この  $\hat{x}$  で代用してフィードバック最適制御を行う。形式的に出力である観測量  $y$  をフィードバックする形になるので、出力フィードバック最適制御と呼ぶ。

## 5. 最適制御と最適オブザーバの双対性



第 7 図 出力フィードバック最適制御  
Fig. 7. Output feedback optimal control

式(11)～(13), 式(20)～(22)などを比較してわかるように、最適制御と最適オブザーバは双方の関係にある。その対応は、

最適制御	最適オブザーバ
$A$	$A^T$
$B$	$C^T$
$R_2$	$V_m$
$P_1$	$Q_0$
$P(t)$	$Q(t^* - t_0)$
$F^*(t)$	$K^T(t^* - t_0)$
$\dot{x}(t) = [A - BF^*(t)]x(t)$	$\dot{e}(t) = [A - K^*(t)C]e(t)$
$t \leq t_1, \quad t^* = t_0 + t_1$	

したがって原問題、双対問題どちらか一方、取り扱いやすい方で考察することができる。

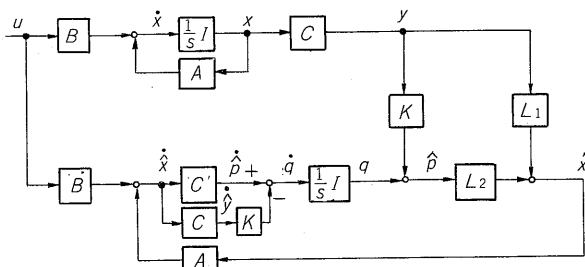
## V. 実用上の簡易化

### 1. 減次元オブザーバ

実際には、状態変数  $x$  が  $n$  個であっても、観測変数  $y$  は  $l$  個 ( $n > l$ ) の場合が多い。このような場合、補助変数  $p$ ,  $q$  などを導入して減次元オブザーバを構成する。第 8 図はその一例である。

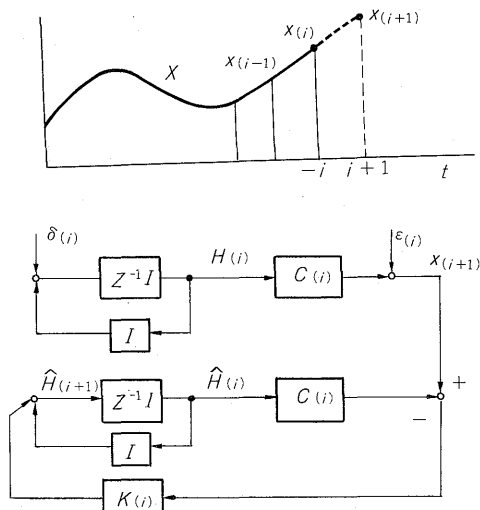
### 2. モード分離

これは II 章 8 の  $A$  の対角化を用いてシステムを  $n$  分



第 8 図 減次元オブザーバ  
Fig. 8. Reduced order observer





第 10 図 自己回帰モデル  
Fig. 10. Autoregressive model

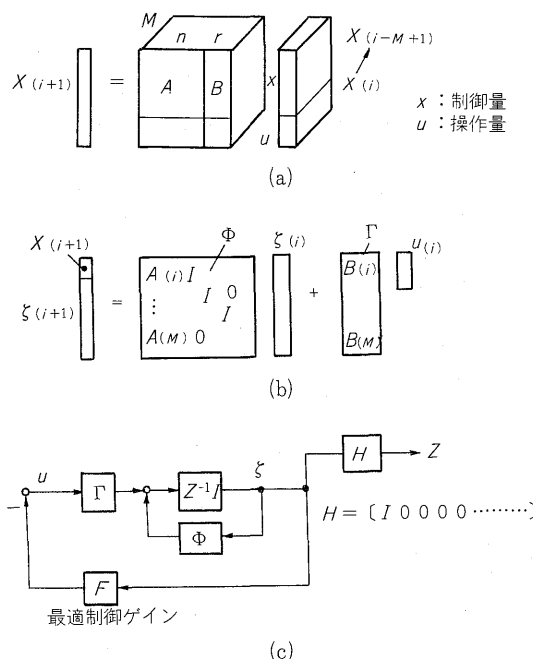
式(44)は、

となり、係数ベクトル  $H(i)$  は時不变だが、他の原因で確率的に変動するとすれば、

となる。

これは第10図のようになり、VI章3の離散形最適オプザーバが応用でき、次のように係数ベクトル  $H(i)$  が、逐次修正されてゆく。

$$K(i) = Q(i) C^T(i) [V\varepsilon + C(i) Q(i) C^T(i)]^{-1} \dots \dots \dots (50)$$



第 11 図 多変数自己回帰モデル  
Fig. 11. Multivariable autoregressive model

## 2. 赤池モデル

これは統計数理研究所赤池先生の提案したモデルで、第11図(a)のような多次元の AR モデルとなっている。このような三次元行列は近代制御理論で扱えないもので、これを第11図(b)のように変形して考える。これは前述の位相変数正準形である。これは第11図(c)のブロックダイアグラムになるので、VI章1の離散形決定的最適制御が応用でき、最適ゲイン  $F$  が計算される。

## VIII. 最近の動向

## 1. 適応オブザーバ

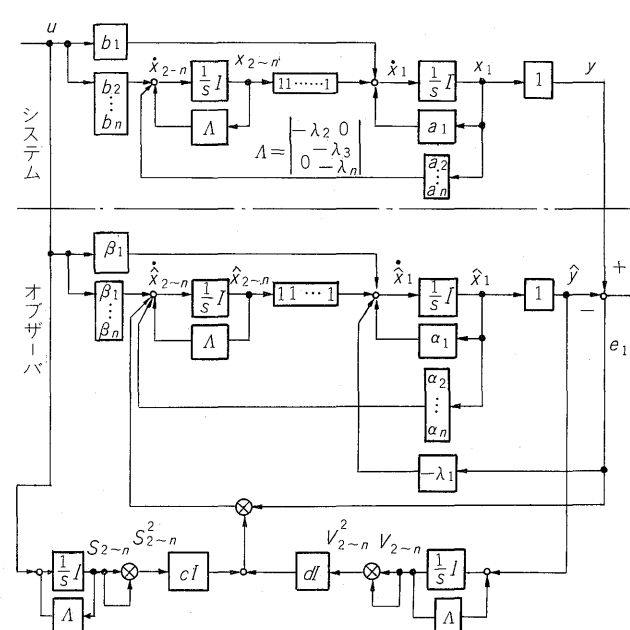
前述のオブザーバは、システム特性  $A$ ,  $B$ ,  $C$  などが既知であったが、現実には多少の差がある。また、現実のシステムは、操業条件によって特性が変化するので、これに適応させる必要がある。このような場合を考慮したもののが適応オブザーバである。この一つの方式を第12図に示す。これは Narendra の提案したもので、特徴は、<sup>(4)</sup> システム行列  $A$  を、

として考えたことと、適応アルゴリズムの安定性をリアブノフ関数  $V$  を考慮して構成した点である。

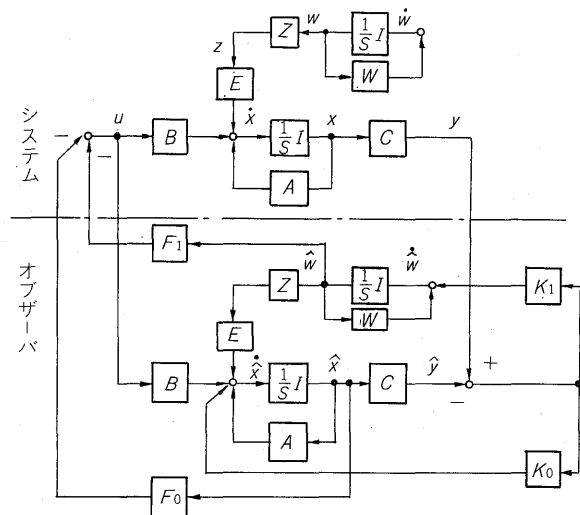
$$V = \frac{1}{2} (y - \hat{y})^2 + \frac{1}{2} \sum_i^n \left( \frac{1}{C_i} (\alpha_i - a_i)^2 + \frac{1}{d_i} (\beta_i - b_i)^2 \right) \quad \dots \dots \dots \quad (53)$$

## 2. 外乱推定を含む最適制御

現実のシステムでは外乱の性質が十分把握されていない



第 12 図 Narendra 形適応オブザーバ  
Fig. 12. Adaptive observer by Narendra



第13図 外乱推定を含む最適制御

Fig. 13. Optimal control with estimating disturbance

いので、外乱推定が今後一つの課題である。第13図はその一つの方式で、外乱を状態変数に含めて推定し、最適制御にも用いている。

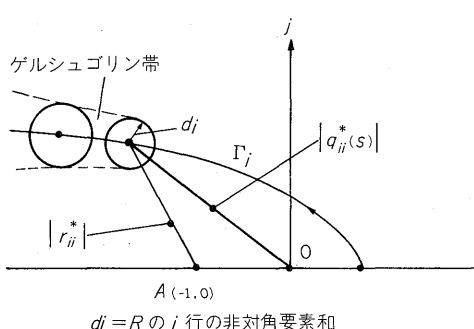
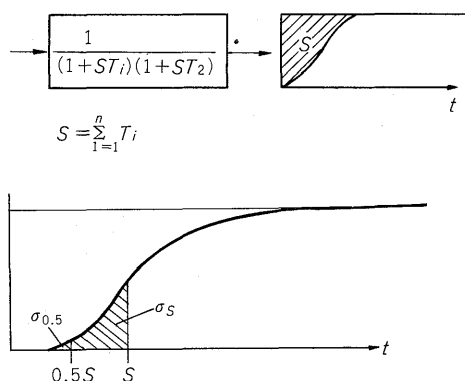
### 3. 逆ナイキスト配列法

最近は多変数系を含めて CAD (Computer Aided Design) する傾向にあり、これはその一つの方式である。INAM (Inverse Nyquist Array Method) と呼ばれ、<sup>(5)</sup> Rosenbrock <sup>(6)</sup> が提案した方法である。

これは古典制御理論的に、システムの伝達関数を考えるが、制御設計を古典制御理論のナイキスト線図ではなく、逆ナイキスト線図を用いる特徴がある。理由は、開及び閉ループ伝達関数  $Q(s)$  と  $R(s)$  の関係が  $R(s) = (I + Q(s))^{-1}Q(s)$  であるのに対し、それぞれの逆伝達関数  $Q^*(s)$ 、 $R^*(s)$  の関係、

$$R^*(s) = Q^*(s) + I \dots \dots \dots (54)$$

が簡易に図示できる点である（第14図）。また、多変数のため自己ループ以外の他ループの影響が、第14図に示す

第14図 逆ナイキスト線図  
Fig. 14. Inverse Nyquist diagram第15図 オートチューニング基本概念  
Fig. 15. Basic concept for auto tuning

ゲルシュゴリン帯で示しうる。漸近安定条件は、各ループの軌跡  $\Gamma_i$  ( $i=1 \sim n$ ) が同方向に同回数となること、及びゲルシュゴリン帯を含めて、O, A の上にのらないことである。この性質を用いた、ディスプレイとの対話形の多変数設計システムができている。

### 4. オートチューニング方式

これは当社の開発した方式で、<sup>(7)</sup> システムの動特性パラメータを自動的に求め、これから制御器のパラメータを自動的に設定する方式である。この特徴は第15図に示すように、システム時定数が応答面積になること（応答面積法）を利用し、従来の  $T_1$ ,  $T_2$  などの時定数の代わりに応答面積  $\sigma_S$ ,  $\sigma_{0.5S}$ などを基に最適ゲインを設定する方法である。また、制御指標は、

$$J = \int e^{\beta t} x^2 dt, \quad \beta = \frac{\omega_c}{2\pi} \alpha \dots \dots \dots (55)$$

とし、重みを折点周波数  $\omega_c$  に結びつけてある点も特徴である。

## IX. 応用実績

以上説明した近代制御理論の応用実績の一例を第1表に示す。各々については、それぞれの応用分野において発表してゆく予定で、ここでは割愛した。

第1表 近代制御理論の応用実績  
Table 1. Applications of modern control theory

	手 法	対 象
制御関係	連続形最適制御 離散形最適制御 逆ナイキスト法	蒸溜塔、ガス混合 セメント、高炉、OG、CC、キュボラ ガスホルダ
同定関係	A R モデル 赤池モデル カルマンフィルタ オートチューニング	電力予測、水予測 セメント、高炉、OG、CC、キュボラ 発電所、電力系統、加熱炉、交通 火力、セメント、下水

これまでの経験から、近代制御理論の応用の有効性について考えてみる。制御関係では、特にガス系のような干渉系、同種 2 系列系のような配分系、人間の思考を超えた多変数系、オブザーバ関係では、計測不備によるシステム未知パラメータを含む系、複雑多岐な多変数系に対して有効である。

## X. あとがき

近代制御理論の今後の応用展開の飛躍的増加を予想しその基礎を平易に紹介した。

計算機の高速大容量化、分散化により、各分野でのこれらの理論応用の意義は大きく、その件数は飛躍的に増加している。商談がらみの依頼はもとより、ユーザ各位との共同研究も多くなっている。今後共、これら技術、経験を充実し、ユーザ各位の御要望にこたえていきたい。

## 参考文献

- (1) 高橋：システムと制御、岩波書店（昭53）
- (2) Luenberger : An Introduction to Observers, IEEE T-AC AC-16, No. 6 (1971)
- (3) Hawkins : "Pseudodiagonalization" and INAM, PIEE, 119 (1972)
- (4) Lüder & Narendra : Stable Adaptive Schemes for Stable Estimation and Identification, IEEE, T-AC, AC-19, No. 6 (1974)
- (5) Weihrieb : Mehrgrößen-Zustandregelung unter Einwirkung von Stör- und Führungssignalen, Regelungstechnik, Heft 6 (1977)
- (6) Rosenbrock : Computer Aided Control System Design, Academic Press, (1974)
- (7) 西川ほか : FUJI MICREX における PID 制御パラメータのオートチューニング、富士時報, 51, No. 4 (昭53)

## 発明の紹明

## オーバトルク保護検出装置

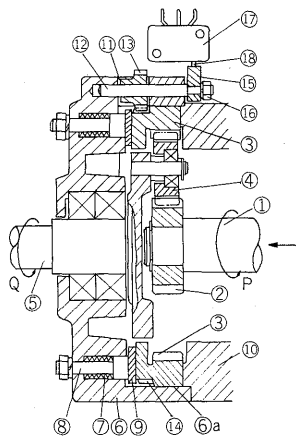
(特許 第 902092 号)

電動操作機など多くの駆動装置の変速機構に遊星歯車機構が用いられることが多いが、本発明はこの種の駆動装置の出力軸が急にロックされたような場合に、歯車機構にかかるオーバトルクを検出して駆動モータ回路を切るなどの手段で駆動装置を保護するものである。

図においてモータ等で駆動される入力軸①には太陽歯車②が直結されており、内歯車③とこの太陽歯車にかみ合う遊星歯車④の遊星運動により、出力軸⑤が回転される。内歯車の外周は枠⑥の内面⑥aと遊嵌していて、そのままでは枠の内部で回転できるが、ばね⑦により押し棒⑧の先端が平円環状のディスク⑨を介して内歯車の一方の側面を図の右方に押し、その他方の側面を支柱⑩の側面に押し付けているので、内歯車はその一方の側面とディスクとの間及びその他方の側面と支柱との間の摩擦により強固にその位置に固定されている。枠の図の上方には開口⑪があって、枠に対し回転できる検出軸⑫に固定された検出歯車⑬がこの開口に設けられていて、内歯車の外周の一部に切られた外歯⑭とかみ合っている。

このような構成において、出力軸がなんらかの原因

で急にロックされた場合、入力軸や出力軸の回転方向 P あるいは Q と反対方向の回転力が内歯車にかかる、それを固定している前記の摩擦力に打ち勝つと、内歯車は回転してその外歯とかみ合う検出歯車、したがって検出軸を回す。検出軸にはカム⑮がナット⑯によって固定されているので、検出軸が回るとカムの外周に当接しているリミットスイッチ⑰のアクチュエータ⑯を介してリミットスイッチを動作させ、オーバトルクが検出される。なお、上述の検出歯車の代わりにゴム等の弾性体を検出軸に固定して、内歯車の外周との摩擦により内歯車の回転を検出することもできる。





\*本誌に記載されている会社名および製品名は、それぞれの会社が所有する商標または登録商標である場合があります。